

III-110 粘性土地盤の土留め土圧に対する考察

鹿島建設技術研究所 正員 保国 光敏
 石谷 尾利
 正員 ○菅 好徳

1. はじめに

土留の壁に作用する土圧として切バリ荷重から求めた Terzaghi-Peck の修正土圧分布の土圧式は土留めの構造条件、施工条件などによる要素を補正係数 m で調整するようにした点に意義が認められているが、この補正係数 m の値の決め方については現在のところ具体的な決め方がないように、土圧式に土留めの構造条件、施工条件を具体的に導入することが出来ないのが現状である。

そこで今回、上の二つの条件の内土留めの構造条件に注目して、土留め土圧におよぼす影響について調べてみた。その結果、粘性土地盤においてこれまでに各工事現場で実施された壁面土圧計による土留め土圧の測定結果を、土留めの構造条件として掘削深度、掘削断面の大きさを用いて整理したところ興味ある結果を得ることが出来たので、ここに報告する。

2. 測定例と整理方法

これまでに土留め工事において実施された測定例は、その工事規模のためか掘削断面の大きい掘削深度の深いものが大部分である。ここでは掘削断面、土性値等が比較的明瞭に記述してある表-1の5つの測定例を用いて、地盤の強度、掘削深度、掘削断面の大きさを要因に以下の手法で整理した。

a) 実測土圧の分布はバラツキが見うけられるため近似曲線で分布形状を推定した後、掘削面との位置で土留め壁に作用している土圧を読み取った。

b) 土の強度は内部マツク角を無視し、粘着力 $C = \gamma u/2$ を採用した。

c) 測定土圧は $P = \gamma z \cdot N_c \cdot C$ (N_c : 粘着力係数) で整理した。

d) 実測例はすべて矩形断面であるので掘削断面の大きさは換算半径 $R_0 = 2(l_1 + l_2)/2\pi$ (l_1 : 長辺, l_2 : 短辺) で表した。

3. 掘削深度、掘削断面の大きさが土留め土圧におよぼす影響

測定例を掘削深度 z と掘削断面の大きさ R_0 で粘着力係数 N_c について整理すると図-1の関係が得られる。

図-1はデータに幾分のバラツキがあるものの z/R_0 と N_c はある一定の関係を持ち、土留め土圧が掘削深度と掘削断面の大きさに影響を受けるという結果が得られた。

今回の整理では比較的大断面の掘削工事の測定例を用いているために z/R_0 が小さく N_c も 4程度までしか変化していないが、小断面の掘削工事においては z/R_0 が大きくなるため N_c がもっと大きな値を示すものと推測でき、特に小断面掘削工事の土留め土圧を考える場合には土圧式に土留めの構造条件として掘削深度と掘削断面の大きさを考慮する必要があると考えられる。

表-1. 検討に使用した参考文献

参考文献	掘削断面の大きさ (m)	掘削深度 (m)
1. 古藤田他: 軟弱地盤における山ごと諸測定について, 第8回土質工学研究発表会講演集, 1973, PP 721~724	55.0 × 22.0	13.1
2. 両沢他: 土留め壁として地中壁にかかる外圧と内部応力の測定と現場への反映土と基礎, Vol. 22, No. 11, 1974, PP 53~62	340.0 × 17.0	21.2
3. 黒柳他: 軟弱地盤における RC 山止め壁の変位と土圧の測定例, 第9回土質工学研究発表会講演集, 1974, PP 785~788	53.7 × 23.7	21.0
4. 山肩他: 掘削にともなう鋼管矢板壁の土圧変動, 土と基礎, Vol. 15, No. 5, 1967, PP 29~39 および No. 6, 1967, PP 7~16	29.5 × 9.1	12.4
5. 濱谷他: 市街地の地下発電所における根切り工事基礎工, Vol. 2, No. 2, 1974, PP 30~60	50.3 × 21.6	21.0

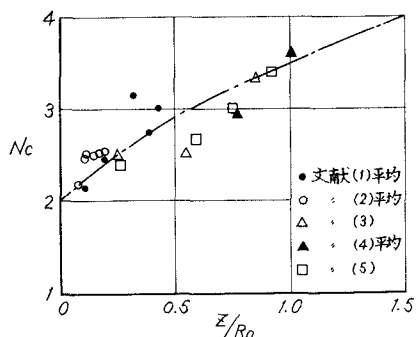


図-1 N_c と z/R_0 の関係

4. 堀削深度と堀削断面の大きさを考慮した土留め土圧式

図-1で求められた関係がもっと堀削断面の小さなものに対しても成立するに考
え、堀削深度と堀削断面の大きさを考慮した土留め土圧式を図-2の円形立坑周囲
の土の応力状態より推定してみる。

立坑周囲に沿うセシ断応力を無視すれば、立坑周囲に出来る塑性域における平衡
方程式は(1)式で表わされる。

$$\frac{\partial \sigma}{\partial R} + (\sigma_r - \sigma_\theta)/R = 0 \quad \text{--- (1)}$$

(1)式を最大主応力 σ_r と最小主応力 σ_θ の関係

$$\sigma_\theta = \sigma_r + 2C \quad \text{--- (2)}$$

と塑性域の境界 $R = R_0$ における塑性平衡式を

$$\sigma_r = \gamma_t \cdot Z - 2C \quad \text{--- (3)}$$

として解くと、立坑の孔壁に作用する応力は(4)式で求められる。

$$\sigma_{ro} = \gamma_t \cdot Z - 2C \{ \ln(R_e/R_0) + 1 \} \quad \text{--- (4)}$$

(4)式中の R_e/R_0 を表-1の測定例より σ_{ro} =測定土圧として整理すると、
図-3になり(5)式の関係が得られる。

$$R_e/R_0 - 1 = 1.14 Z/R_0 \quad \text{--- (5)}$$

(5)式を(4)式に代入すると、(6)式の土圧式が得られる

$$\sigma_{ro} = \gamma_t \cdot Z - 2C \{ \ln(1.14 Z/R_0 + 1) + 1 \} = \gamma_t Z - N_c \cdot C \quad \text{--- (6)}$$

5. 小断面掘削工事の測定結果(6)への適用

(6)式で算定される土圧を、 Z/R_0 が大きくなるために土留め土圧が
大きな変化を示すであろうと推測できる小断面掘削工事に適用し、
実測土圧値と比較する。

比較のために採用した測定例は図-4に示す軟弱粘性土地盤に円
形立坑を掘削した場合の土圧測定結果で、測定された土圧は地盤の
深度方向に土カブリ压が増大するにもかかわらず作用土圧は比例し
て大きくならない。一般に考えられる土圧分布と異った形状を示し
ているのが特徴である。

(6)式をこの工事に適用して算定した土圧は図-4に示すもので、堀
削断面が小さいため堀削深度の増大につれ Z/R_0 が非常に大きくなり
 N_c も大きくなつて、標高-20ft以下では土圧は堀削深度の増大にも
かかわらず低下し、実測土圧と良い対応を示す。この比較では矩形

断面から得られた結果を円形断面に適用した点や、(6)式の作成に当つてのデータが少ないという問題点があつた
にもかかわらず、小断面掘削工事において測定された一般的の分布形状と異なる土圧をうまく説明出来る結果を得て、
堀削深度と堀削断面の大きさを土留めの構造条件として土圧式に導入することが出来たと考えられる。

6. おわりに

今回実施した土留め土圧の測定結果の整理より、土留め土圧は堀削深度と堀削断面の大きさに関係することが
わかつり、特に小断面掘削工事においてはこれらの影響を充分に加味する必要が認められた。

今後はさらにデータの蓄積をはかり、より定量的な土圧の算定が出来るように検討を進めたいと思っている。

参考文献

(6)Peck & Sidney Berman, Measurements of Pressures against a Deep Shaft in Plastic Clay, 2nd Int. Conf. S.M.&F.E Vol III 1948

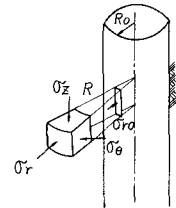


図-2 立坑中心より距離 R
の土塊に作用する応力

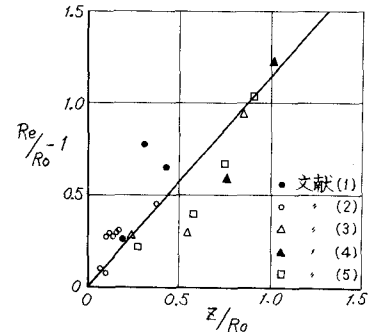


図-3 ($R_e/R_0 - 1$) と Z/R_0 の関係

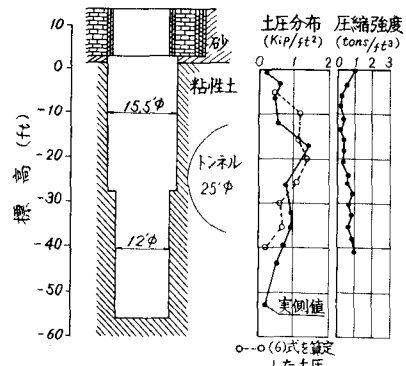


図-4 文献(6)の土圧測定結果と(6)式で
算定した土圧の比較